

BROUILLON - INÉGALITÉS ISOPÉRIMÉTRIQUES RESTREINTES AUX POLYGONES

CHRISTOPHE BAL

*Document, avec son source L^AT_EX, disponible sur la page
<https://github.com/bc-writings/bc-public-docs/tree/main/drafts>.*

Mentions « légales »

Ce document est mis à disposition selon les termes de la licence Creative Commons “Attribution – Pas d’utilisation commerciale – Partage dans les mêmes conditions 4.0 International”.

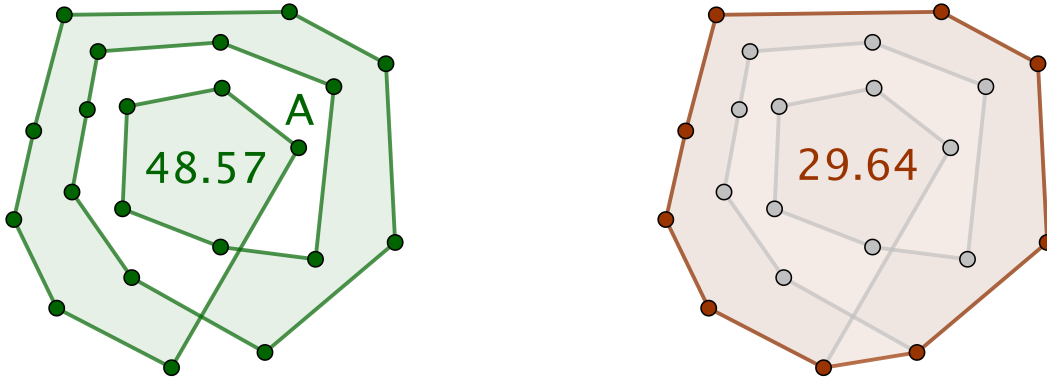


TABLE DES MATIÈRES

0.1. Aire géométrique d’un n -cycle

2

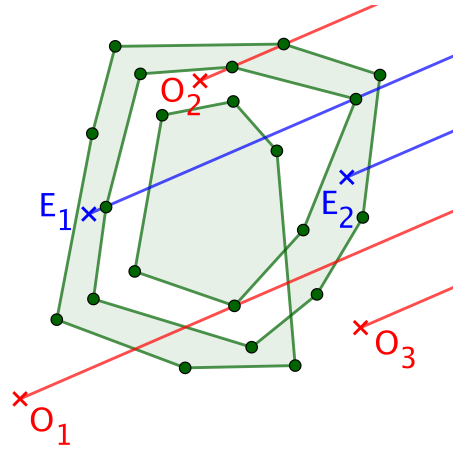
0.1. Aire géométrique d'un n -cycle. Pour prouver l'existence d'un n -gone solution du problème d'isopérimétrie polygonale, nous allons accepter de travailler avec des n -cycles. Il nous faut donc une notion d'aire pour ces objets très particuliers. Il existe une notion d'aire algébrique d'un n -cycle qui s'appuie sur le déterminant : si $\mathcal{L} = A_1A_2 \cdots A_n$, alors l'aire algébrique de \mathcal{L} est $\frac{1}{2} \sum_{i=1}^n \det(\overrightarrow{\Omega A'_i}, \overrightarrow{\Omega A'_{i+1}})$, une quantité indépendante du point Ω choisi. Quand GeoGebra associe un nombre à un n -cycle \mathcal{L} , il calcule la valeur absolue de son aire algébrique. Malheureusement, cette notion n'est pas la bonne candidate, pour une approche élémentaire, comme le montre l'exemple suivant, où le n -cycle proposé a été construit via une spirale positive depuis le point A , de sorte que les déterminants pour calculer l'aire algébrique sont tous positifs, ceci donnant au total une aire algébrique, positive, supérieure à celle de l'enveloppe convexe du n -cycle. Nous verrons que l'aire algébrique nous sera néanmoins utile pour formuler un argument de continuité.



Tout n'est pas perdu, car l'image de gauche nous donne la solution : il suffit de définir l'aire comme la somme des aires des n -gones coloriés par GeoGebra. Sympa ! Mais comment ce coloriage est-il fait ? C'est un classique de l'informatique graphique, mais aussi un moyen de démontrer le faussement simple théorème de Jordan donnant l'intérieur et l'extérieur d'un n -gone. Voici comment cela fonctionne, sans chercher à démontrer les faits indiqués.

- Choisissons une direction orientée \vec{d} qui n'est parallèle avec aucun des côtés de \mathcal{L} .
- Considérons un point M non situé sur le n -cycle \mathcal{L} , et faisons partir une demi-droite \mathcal{D} de M suivant \vec{d} . On calcule alors $p(M)$ le nombre de points d'intersection de \mathcal{D} avec le n -cycle \mathcal{L} en appliquant les règles suivantes.
 - (1) Quand on rencontre un côté, mais pas un sommet, on ajoute 1.
 - (2) Quand on tombe sur un sommet, on ajoute 1 si les voisins du sommet sont de part et d'autre de la demi-droite, et rien sinon.
- L'ensemble des points M tels que $p(M)$ soit pair sera appelé la « *surface paire* » de \mathcal{L} . On définit de même la « *surface impaire* » de \mathcal{L} . Une difficulté non négligeable reste à surmonter : s'assurer que le choix de la direction orientée ne modifie pas les surfaces paires et impaires obtenues.
- La frontière de la surface impaire de \mathcal{L} est la réunion d'un nombre fini, éventuellement nul,¹ de n -gones d'intérieurs disjoints deux à deux.

1. Penser au cas d'un n -cycle dont tous les sommets sont alignés.



Quelques calculs de $p(M)$:

$$p(E_1) = 5, p(E_2) = 1, p(O_1) = 4, p(O_2) = 2 \text{ et } p(O_3) = 0.$$

Définition 1. Soit \mathcal{L} un n -cycle ayant $\bigcup_i \mathcal{P}_i$ pour frontière de sa surface impaire, où les \mathcal{P}_i , en nombre fini éventuellement nul, sont des n -gones d'intérieurs disjoints deux à deux. La quantité $\text{AireGeo}(\mathcal{L}) = \sum_i \text{Aire}(\mathcal{P}_i)$ sera nommée « aire géométrique » du n -cycle \mathcal{L} .²

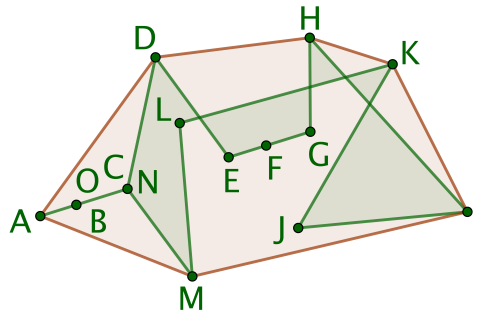
Fait 1. Pour tout n -gone \mathcal{P} , nous avons $\text{AireGeo}(\mathcal{P}) = \text{Aire}(\mathcal{P})$.

Démonstration. Immédiat. □

Fait 2. Si un n -cycle \mathcal{L} de longueur non nulle n'est pas un n -gone convexe, alors il existe un n -gone convexe \mathcal{P} tel que $\text{Long}(\mathcal{P}) = \text{Long}(\mathcal{L})$ et $\text{AireGeo}(\mathcal{P}) > \text{AireGeo}(\mathcal{L})$.

Démonstration. Commençons par le cas « hyper-dégénéré » : si tous les sommets de \mathcal{L} sont alignés, son aire géométrique est nulle. Le triangle équilatéral de côté $\frac{1}{3}\text{Long}(\mathcal{L})$ permet de conclure.

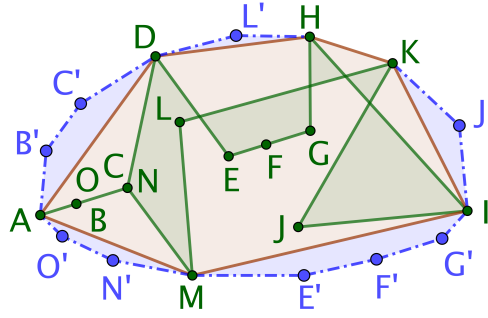
Supposons maintenant que \mathcal{L} possède au moins trois sommets non alignés. Notons \mathcal{C} l'enveloppe convexe de \mathcal{L} (nous savons donc que \mathcal{C} contient au moins un triangle).



Exemple où $N = C$ et $O = B$.

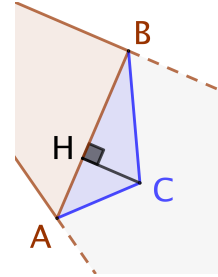
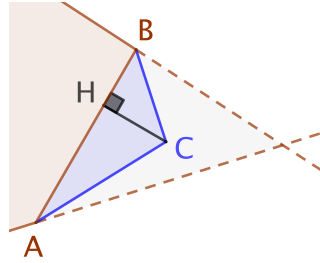
Clairement, $\text{Long}(\mathcal{C}) < \text{Long}(\mathcal{L})$. Quant à $\text{AireGeo}(\mathcal{C}) > \text{AireGeo}(\mathcal{L})$, c'est une conséquence directe de la définition de l'aire géométrique combinée au fait que \mathcal{L} ne soit pas un n -gone convexe. Il reste un problème à gérer : \mathcal{C} est un s -gone avec $s \leq n$. Une idée simple, formalisée après, est d'ajouter des sommets assez près des côtés de \mathcal{C} pour garder la convexité, une longueur strictement inférieure à $\text{Long}(\mathcal{L})$, et une aire géométrique strictement plus grande que $\text{AireGeo}(\mathcal{L})$. Si c'est faisable, un agrandissement de rapport $r > 1$ donnera le n -gone \mathcal{P} cherché. La figure suivante illustre cette idée.

2. Rappelons qu'une somme de réels sur l'ensemble vide vaut zéro par convention.



$m = n - s$ compte les sommets manquants. Si $m = 0$, il n'y a rien à faire. Sinon, posons $\delta = \frac{\text{Long}(\mathcal{L}) - \text{Long}(\mathcal{C})}{m}$.

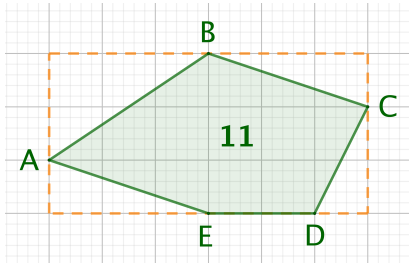
- (1) Considérons $[AB]$ un côté quelconque de \mathcal{C} . Les droites portées par les côtés « autour » de $[AB]$ « dessinent » une région contenant toujours un triangle ABC dont l'intérieur est à l'extérieur³ de \mathcal{C} comme dans les deux cas ci-dessous.



- (2) Clairement, le polygone \mathcal{C}_+ obtenu à partir de \mathcal{C} en remplaçant le côté $[AB]$ par les côtés $[AC]$ et $[CB]$ est un convexe avec un sommet de plus que \mathcal{C} .
- (3) Comme HC peut être rendu aussi proche de 0 que souhaité, il est aisé de voir que l'on peut choisir cette distance de sorte que $AC + BC < AB + \delta$. Dès lors, le périmètre de \mathcal{C}_+ augmente inférieurement strictement à δ relativement à \mathcal{C} .
- (4) En répétant $(m - 1)$ fois les étapes 1 à 3, nous obtenons un n -gone convexe \mathcal{P} tel que $\text{AireGeo}(\mathcal{P}) > \text{AireGeo}(\mathcal{L})$ et $\text{Long}(\mathcal{P}) < \text{Long}(\mathcal{C}) + m\delta = \text{Long}(\mathcal{L})$. \square

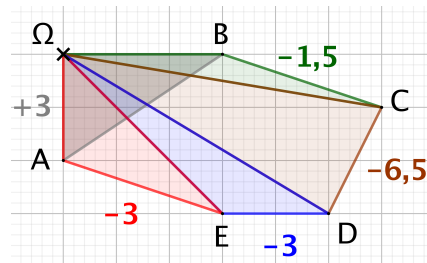
Enquêtons sur le calcul de l'aire d'un n -gone, afin de savoir si l'aire géométrique est « continue ». Il est connu que ABC est d'aire $\text{Aire}(ABC) = \frac{1}{2} \left| \det(\overrightarrow{AB}, \overrightarrow{AC}) \right|$ où $\frac{1}{2} \det(\overrightarrow{AB}, \overrightarrow{AC})$ est appelé aire algébrique. Nous allons donc travailler avec des triangles comme dans l'exemple suivant.

Calcul direct à la main.



$$11 = 3 \cdot 6 - \frac{3 \cdot 1 + 3 \cdot 2 + 3 \cdot 1 + 1 \cdot 2}{2}$$

Via le déterminant.



$$-11 = 3 - 1,5 - 6,5 - 3 - 3$$

3. C'est ce que l'on appelle de la « low poetry » .

Dans le cas précédent, le résultat pourrait dépendre du point Ω employé, mais le fait suivant nous montre que non. Allons-y !

Fait 3. Soit $\mathcal{L} = A_1 A_2 \cdots A_n$ un n -cycle. La fonction qui à un point Ω du plan associe $\mu_1^n(\Omega; \mathcal{L}) = \sum_{i=1}^n \det(\overrightarrow{\Omega A'_i}, \overrightarrow{\Omega A'_{i+1}})$ est indépendante du point Ω . Dans la suite, cette quantité indépendante de Ω sera notée $\mu_1^n(\mathcal{L})$.

Démonstration. Soit M un autre point du plan.

$$\begin{aligned}
& \mu_1^n(\Omega; \mathcal{L}) \\
&= \sum_{i=1}^n \det(\overrightarrow{\Omega A'_i}, \overrightarrow{\Omega A'_{i+1}}) \\
&= \sum_{i=1}^n \det(\overrightarrow{\Omega M} + \overrightarrow{MA'_i}, \overrightarrow{\Omega M} + \overrightarrow{MA'_{i+1}}) \quad \left. \begin{array}{l} \text{Cette bonne vieille relation de Chasles.} \end{array} \right\} \\
&= \sum_{i=1}^n \left[\det(\overrightarrow{\Omega M}, \overrightarrow{\Omega M}) + \det(\overrightarrow{\Omega M}, \overrightarrow{MA'_{i+1}}) + \det(\overrightarrow{MA'_i}, \overrightarrow{\Omega M}) + \det(\overrightarrow{MA'_i}, \overrightarrow{MA'_{i+1}}) \right] \\
&= \sum_{i=1}^n \det(\overrightarrow{\Omega M}, \overrightarrow{MA'_{i+1}}) + \sum_{i=1}^n \det(\overrightarrow{MA'_i}, \overrightarrow{\Omega M}) + \mu_1^n(M; \mathcal{L}) \\
&= \mu_1^n(M; \mathcal{L}) + \sum_{i=2}^{n+1} \det(\overrightarrow{\Omega M}, \overrightarrow{MA'_i}) - \sum_{i=1}^n \det(\overrightarrow{\Omega M}, \overrightarrow{MA'_i}) \quad \left. \begin{array}{l} A'_{n+1} = A'_1 \end{array} \right\} \\
&= \mu_1^n(M; \mathcal{L}) \quad \square
\end{aligned}$$

Fait 4. Soit $\mathcal{L} = A_1 A_2 \cdots A_n$ un n -cycle. Pour $k \in \llbracket 1; n \rrbracket$, le n -cycle $\mathcal{L}_k = B_1 B_2 \cdots B_n$, où $B_i = A'_{i+k-1}$, vérifie $\mu_1^n(\mathcal{L}) = \mu_1^n(\mathcal{L}_k)$. Dans la suite, cette quantité commune sera notée $\mu(\mathcal{L})$.

Démonstration. Il suffit de s'adonner à un petit jeu sur les indices de sommation. \square

Fait 5. Soit $\mathcal{L} = A_1 A_2 \cdots A_n$ un n -cycle. Le n -cycle $\mathcal{L}^{\text{op}} = B_1 B_2 \cdots B_n$, où $B_i = A_{n+1-i}$, vérifie $\mu(\mathcal{L}^{\text{op}}) = -\mu(\mathcal{L})$.

Démonstration. Soit Ω un point quelconque du plan.

$$\begin{aligned}
& \mu(\mathcal{L}^{\text{op}}) \\
&= \sum_{i=1}^n \det(\overrightarrow{\Omega B'_i}, \overrightarrow{\Omega B'_{i+1}}) \\
&= \sum_{i=1}^n \det(\overrightarrow{\Omega A'_{n+1-i}}, \overrightarrow{\Omega A'_{n-i}}) \\
&= \sum_{j=0}^{n-1} \det(\overrightarrow{\Omega A'_{j+1}}, \overrightarrow{\Omega A'_j}) \quad \left. \begin{array}{l} A'_0 = A'_n \text{ et } A'_1 = A'_{n+1} \end{array} \right\} \\
&= \sum_{j=1}^n \det(\overrightarrow{\Omega A'_{j+1}}, \overrightarrow{\Omega A'_j}) \\
&= - \sum_{j=1}^n \det(\overrightarrow{\Omega A'_j}, \overrightarrow{\Omega A'_{j+1}}) \\
&= -\mu(\mathcal{L}) \quad \square
\end{aligned}$$

Fait 6. Soit $\mathcal{L} = A_1 A_2 \cdots A_n$ un n -cycle. La quantité $\overline{\text{Aire}}(\mathcal{L}) = \frac{1}{2} \mu(\mathcal{L})$, qui dépend juste du sens de parcours de \mathcal{L} , mais pas du point de départ,⁴ sera appelé « aire algébrique » de \mathcal{L} .

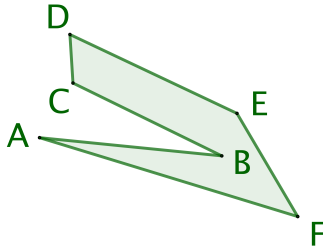
Démonstration. C'est une conséquence directe des faits 4 et 5. \square

4. Le lecteur pardonnera les abus de langage utilisés.

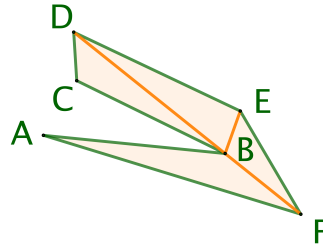
Considérons, maintenant, un n -gone convexe $\mathcal{P} = A_1A_2 \cdots A_n$ où les sommets sont parcourus dans le sens anti-horaire. En choisissant l'isobarycentre G des sommets A_1, A_2, \dots, A_n pour le calcul de $\text{Aire}(\mathcal{P})$, nous obtenons que $\text{Aire}(\mathcal{P}) = \overline{\text{Aire}}(\mathcal{P})$: en effet, avec ce choix, tous les déterminants $\det(\overrightarrow{GA'_i}, \overrightarrow{GA'_{i+1}})$ sont positifs. Dans le cas non-convexe, les choses se compliquent a priori, car nous ne maîtrisons plus les signes des déterminants. Heureusement, nous avons le résultat suivant.

Fait 7. Soit un n -gone $\mathcal{P} = A_1A_2 \cdots A_n$ tel que A_1, A_2, \dots, A_n soient parcourus dans le sens trigonométrique, ou anti-horaire. Un tel n -gone sera dit « positif ». ⁵ Sous cette hypothèse, nous avons $\mu(\mathcal{P}) \geq 0$, i.e. $\overline{\text{Aire}}(\mathcal{P}) \geq 0$.

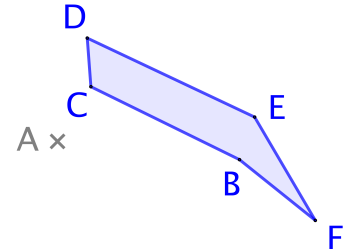
Démonstration. Le théorème de triangulation affirme que tout n -gone est triangulable comme dans l'exemple très basique suivant qui laisse envisager une démonstration par récurrence en retirant l'un des triangles ayant deux côtés correspondant à deux côtés consécutifs du n -gone (pour peu qu'un tel triangle existe toujours).



Un n -gone « nu ».



Le n -gone triangulé.



Le n -gone allégé.

Le théorème de triangulation admet une forme forte donnant une décomposition contenant un triangle formé de deux côtés consécutifs du n -gone. ⁶ Nous dirons qu'une telle décomposition est « à l'écoute ». Ce très mauvais jeu de mots fait référence à la notion sérieuse « d'oreille » pour un n -gone : une oreille est un triangle inclus dans le n -gone, et formé de deux côtés consécutifs du n -gone. L'exemple suivant donne un n -gone n'ayant que deux oreilles. ⁷



Un n -gone basique.



Juste deux oreilles disponibles.

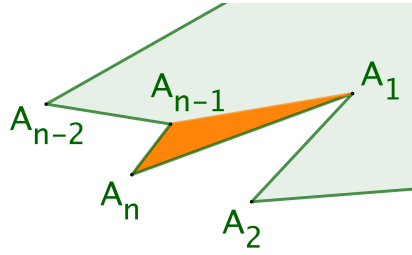
Raisonnons donc par récurrence sur $n \in \mathbb{N}_{\geq 3}$.

- **Cas de base.** Soit ABC un triangle. Dire que les sommets A, B et C sont parcourus dans le sens trigonométrique, c'est savoir que $\mu(ABC) = \det(\overrightarrow{AB}, \overrightarrow{AC}) > 0$.
- **Hérédité.** Soit un n -gone positif $\mathcal{P} = A_1A_2 \cdots A_n$ avec $n \in \mathbb{N}_{\geq 3}$. On peut supposer que $A_{n-1}A_nA_1$ est une oreille d'une triangulation à l'écoute du n -gone \mathcal{P} .

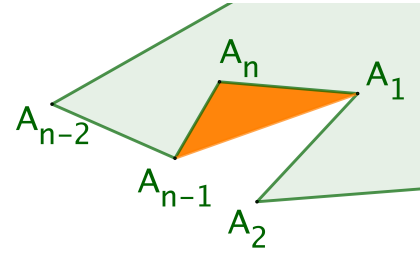
⁵. Bien noté que cette notion ne peut pas exister pour un n -gone croisé. De façon cachée, nous utilisons le célèbre théorème de Jordan, dans sa forme polygonale.

⁶. En pratique, cette forme forte est peu utile, car elle aboutit à un algorithme de recherche trop lent.

⁷. On démontre que tout n -gone admet au minimum deux oreilles.



$A_{n-1}A_nA_1$ est une oreille.



$A_{n-1}A_nA_1$ n'est pas une oreille.

Posons $\mathcal{P}' = A_1 \cdots A_{n-1}$ où $k = n - 1$ vérifie $k \in \mathbb{N}_{\geq 3}$. Par hypothèse, \mathcal{P}' est positif. Nous arrivons finalement aux calculs élémentaires suivants en utilisant A_1 comme point de calcul de $\mu(\mathcal{P})$.

$$\begin{aligned}
 & \mu(\mathcal{P}) \\
 &= \sum_{j=1}^n \det(\overrightarrow{A_1 A'_j}, \overrightarrow{A_1 A'_{j+1}}) \\
 &= \sum_{j=1}^{n-1} \det(\overrightarrow{A_1 A_j}, \overrightarrow{A_1 A_{j+1}}) \quad \left. \begin{array}{l} A'_{n+1} = A_1 \\ A'_i = A_i \text{ pour } i \leq n \end{array} \right\} \\
 &= \sum_{j=1}^{n-2} \det(\overrightarrow{A_1 A_j}, \overrightarrow{A_1 A_{j+1}}) + \det(\overrightarrow{A_1 A_{n-1}}, \overrightarrow{A_1 A_n}) \quad \left. \begin{array}{l} \text{Pour } \mu(\mathcal{P}'), \text{ noter que} \\ \det(\overrightarrow{A_1 A_{n-1}}, \overrightarrow{A_1 A_1}) = 0. \end{array} \right\} \\
 &= \mu(\mathcal{P}') + \mu(A_{n-1}A_nA_1)
 \end{aligned}$$

Par hypothèse de récurrence, nous savons que $\mu(\mathcal{P}') \geq 0$, et comme $A_{n-1}A_nA_1$ est une oreille de \mathcal{P} , la 3-ligne $A_{n-1}A_nA_1$ est forcément positive, d'où $\mu(A_{n-1}A_nA_1) \geq 0$ d'après le cas de base. Nous arrivons bien à $\mu(\mathcal{P}) \geq 0$, ce qui permet de finir aisément la démonstration par récurrence. \square

Fait 8. Pour tout n -gone \mathcal{P} , nous avons : $\text{Aire}(\mathcal{P}) = |\overline{\text{Aire}}(\mathcal{P})|$.

Démonstration. Les deux points suivants permettent de faire une preuve par récurrence.

- **Cas de base.** L'égalité est immédiate pour les triangles (c'est ce qui a motivé la définition de l'aire algébrique).
- **Hérédité.** Soit $\mathcal{P} = A_1 \cdots A_n$ un n -gone avec $n \in \mathbb{N}_{>3}$. Comme $\overline{\text{Aire}}(\mathcal{P}^{\text{op}}) = -\overline{\text{Aire}}(\mathcal{P})$ selon le fait 5, nous pouvons choisir de parcourir \mathcal{P} positivement, puis de nous placer dans la situation de la démonstration du fait 7 : $A_{n-1}A_nA_1$ est une oreille positive d'une triangulation à l'écoute du n -gone \mathcal{P} , et $\mathcal{P}' = A_1 \cdots A_{n-1}$ un k -gone positif où $k = n - 1$ vérifie $k \in \mathbb{N}_{\geq 3}$. Nous arrivons finalement aux calculs élémentaires suivants.

$$\begin{aligned}
 & \text{Aire}(\mathcal{P}) \\
 &= \text{Aire}(\mathcal{P}') + \text{Aire}(A_{n-1}A_nA_1) \quad \left. \begin{array}{l} A_{n-1}A_nA_1 \text{ est une oreille de } \mathcal{P}. \\ \text{Hypothèse de récurrence et cas de base.} \end{array} \right\} \\
 &= \frac{1}{2} |\mu(\mathcal{P}')| + \frac{1}{2} |\mu(A_{n-1}A_nA_1)| \quad \left. \begin{array}{l} \text{Voir le fait 7.} \end{array} \right\} \\
 &= \frac{1}{2} (\mu(\mathcal{P}') + \mu(A_{n-1}A_nA_1)) \quad \left. \begin{array}{l} \text{Comme dans la preuve du fait 7.} \end{array} \right\} \\
 &= \frac{1}{2} \mu(\mathcal{P}) \quad \left. \begin{array}{l} \text{Voir le fait 7.} \end{array} \right\} \\
 &= \frac{1}{2} |\mu(\mathcal{P})| \\
 &= |\overline{\text{Aire}}(\mathcal{P})|
 \end{aligned}$$

\square

Tout ce qui précède va nous permettre de justifier la continuité de l'aire géométrique sur l'ensemble de n -cycles de longueur ℓ pour ℓ un réel fixé.

Fait 9. Soit $n \in \mathbb{N}_{\geq 3}$ un naturel fixé.

le plan d'un repère orthonormé direct $(O; \vec{i}, \vec{j})$

$\alpha : \mathcal{U} \rightarrow \mathbb{R}_+$ qui à un uplet de \mathcal{U} associe l'aire généralisée du n -cycle qu'il représente. Cette fonction est continue d'après le fait 9.

Démonstration. GGGGG

pour les raisons suivantes où $\mathcal{L} = A_1 A_2 \cdots A_n$ désigne un n -cycle.

- $\text{AireGeo}(\mathcal{L}) = \sum_i \text{Aire}(\mathcal{P}_i)$ où $\bigcup_i \mathcal{P}_i$ est frontière de la surface impaire de \mathcal{L} .
- Si $\bigcup_i \mathcal{P}_i = \emptyset$, alors $\text{AireGeo}(\mathcal{L}) = 0$.
- Si $\bigcup_i \mathcal{P}_i \neq \emptyset$, en posant $\mathcal{P}_i = A_{i,1} A_{i,2} \cdots A_{i,n_i}$, le fait 8 nous permet d'écrire, en calculant les aires algébriques via l'origine O du repère, $\text{AireGeo}(\mathcal{L}) = \frac{1}{2} \sum_i \left| \sum_{k=1}^{n_i} (x(A'_{i,k})y(A'_{i,k+1}) - y(A'_{i,k})x(A'_{i,k+1})) \right|$.
- XXXXX
- XXXXX
- XXXXX
- XXXXX

□